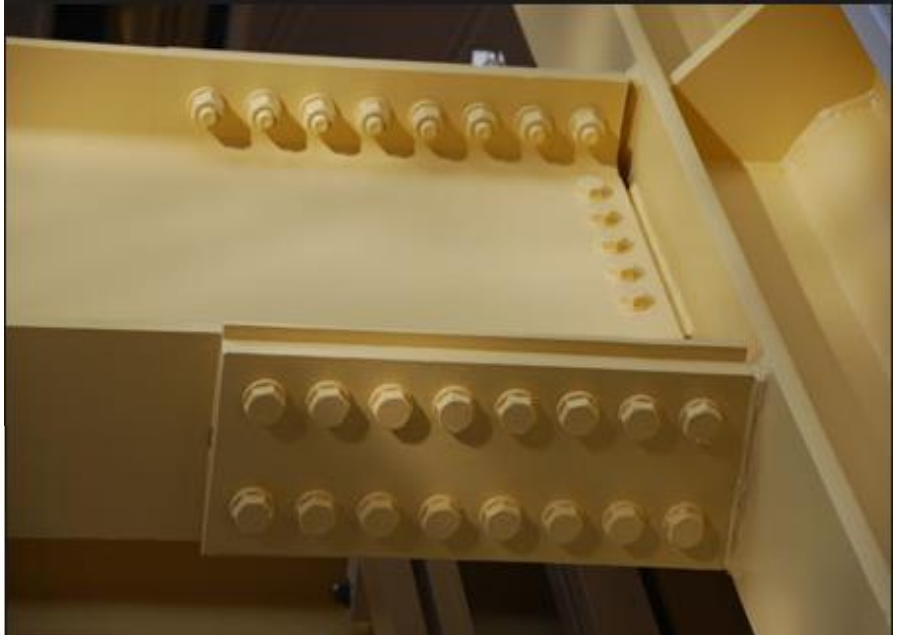




# سینار آموزشی طرح و اجرای اتصالات پیچی در سازه های فولادی

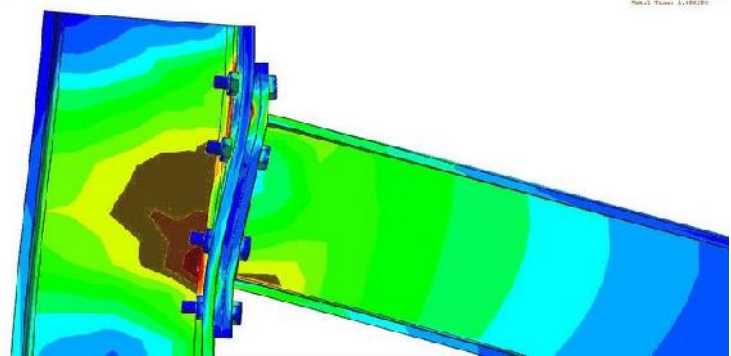
ارائه : دکتر سید رسول میر قادری

۱۳۹۳  
بهمن



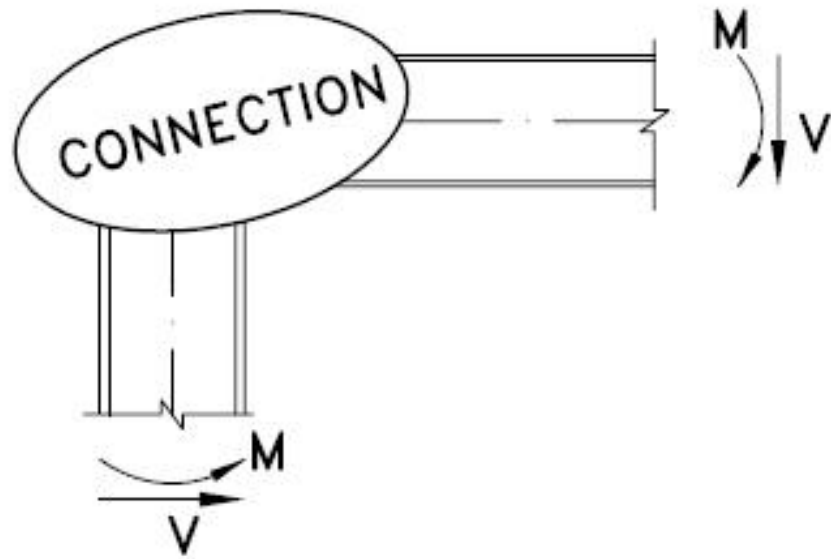
## پیچ و اتصالات پیچی

ارائه دهنده: دکتر سید رسول میر قادری  
تهییه کننده: مهندس فرهاد کشاورزی

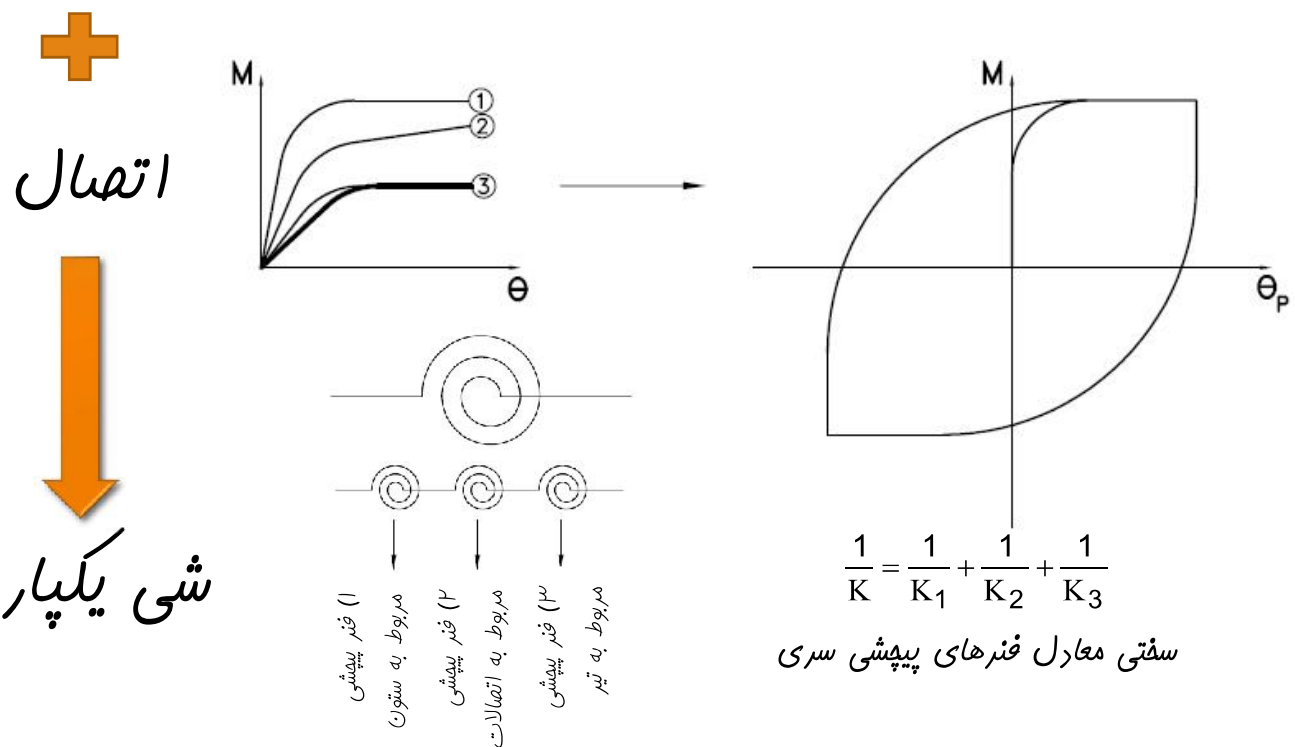


## اتصالات و قیود

با نگاهی به میدت اطمینان، برای مثال در دافل خانه، اشیاء بسیاری را می‌توانیم پیدا کنیم که هر کدام از اجزاء و اعضاي تشکیل شده‌اند



+  
اتصال  
↓  
شی یکپارچه



$$\frac{1}{K} = \frac{1}{K_1} + \frac{1}{K_2} + \frac{1}{K_3}$$

سنتی معادل فنرهای پیشی سری

اتصال میدت را خراهم کرده است که یک نوع انتقال بین تلاشی‌های مختلف اجزاء برقرار می‌گردد.

## اتصالات و قبیل

اما با نگاهی ریزتر می‌توان دریافت که خود اتصالات نیز دارای ادواتی می‌باشند که **با خن فاصی** به یکدیگر متصل می‌گردند و عبارتند از:



◀ **جوش**: اتصال اعضای سازه به کمک حرارت و ذوب شدن موضعی نواحی اتصال و یکپارچه سازی مصالح با یکدیگر توسط خلز جوش



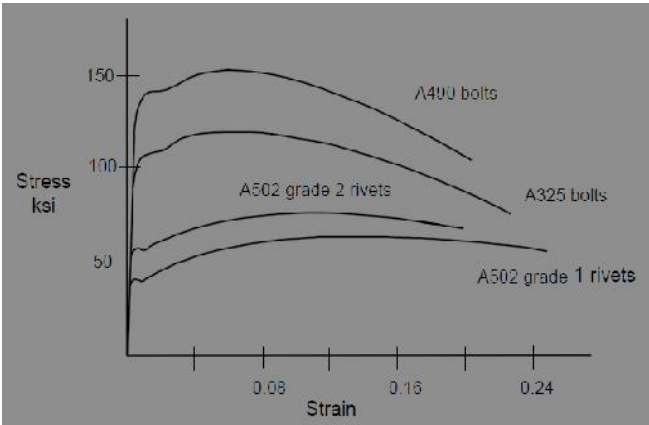
◀ **پرچ**: از قدیمی‌ترین ادوات اتصال برای سازه‌های خولادی هستند. پرچها با قطر ۱ تا ۴ سانتی‌متر ساخته شده و دارای دو نوع به نامهای **A502-Gr1** و **A502-Gr2** در استاندارد **ASTM** می‌باشند.

$$\text{A502 - Gr1: } F_y = 1950 \text{ kg/cm}^2 \quad F_u = 3600 - 4350 \text{ kg/cm}^2$$

$$\text{A502 - Gr2: } F_y = 2670 \text{ kg/cm}^2 \quad F_u = 4780 - 5760 \text{ kg/cm}^2$$



◀ **پیچ**: به دو صورت معمولی و پر مقاومت مورد استفاده قرار می‌گیرند.



## ۱- نوع پیچ

پیچ های معمولی از نوع فولاد نرمه با کربن کم می باشد. در استاندارد ASTM با علامت A307 مشخص می شوند که در آن پیچ ها کشیده است.

موردنظر مصرف این پیچ ها در سازه های سبک و اعفنا که اصلی آن توسط بوش و یا پیچهای پر مقاومت متصل می شوند، استفاده می شود.

**پیچ های ۶.8، ۵.6، ۴.8، ۴.6** در زمرة پیچ های معمولی می باشند. عدد اول با ضریب ۱۰۰۰ معرف مقاومت کششی نهایی بر حسب  $\text{kg/cm}^2$  و ۱۰٪ خالص نسبت عدد دو، مقاومت نهایی بیانگر مقاومت تسليع این پیچ هاست.

از قطرهای ۱۲ میلیمتر (M12) تا ۳۶ میلیمتر (M36) در بازار یافت می شوند.

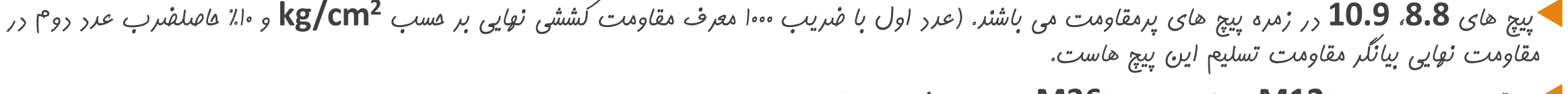
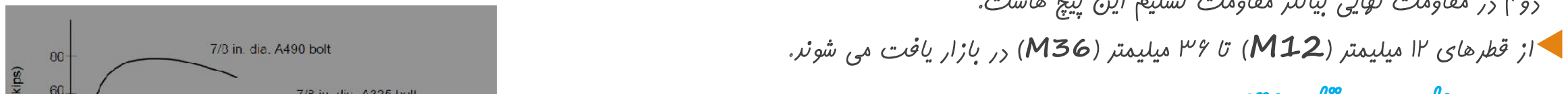
**پیچ های پر مقاومت**

از نوع فولاد نرمه با کربن متوسط می باشد. در استاندارد ASTM با علامت A449 و A325 مشخص می شوند.

بدلیل قابلیت تحمل فوب نیروهای پیش تنشی برای اتصالات اصطکاکی کاربرد وسیع دارند.

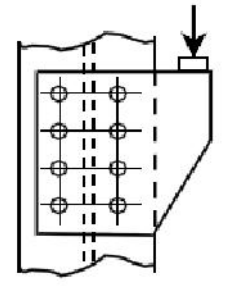
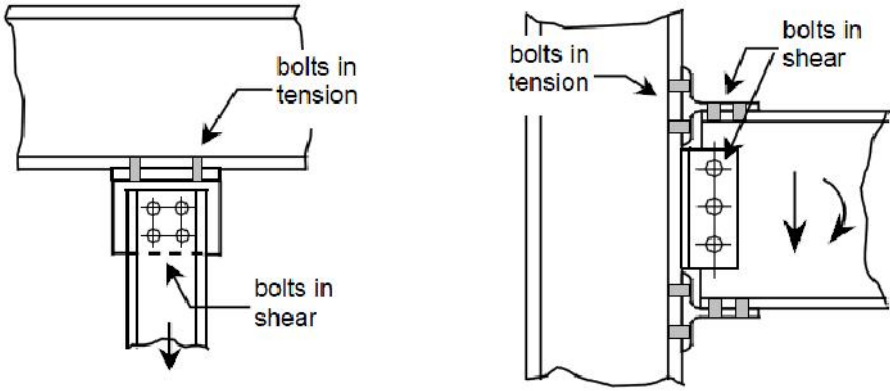
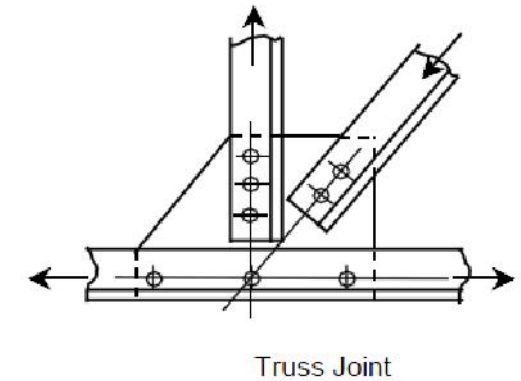
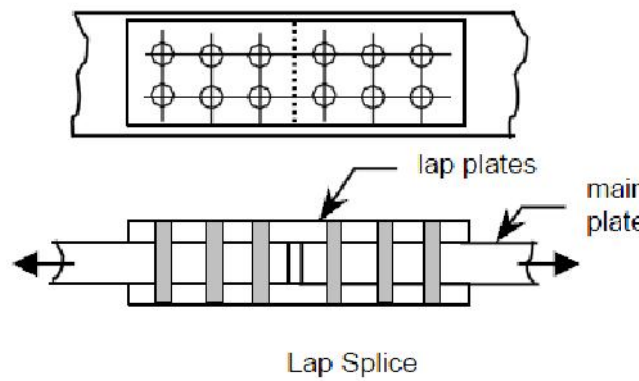
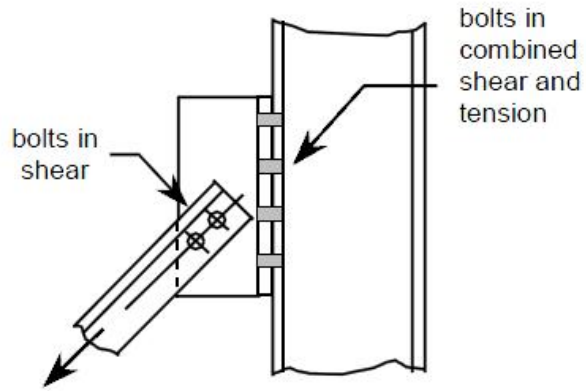
**پیچ های 10.9، 8.8** در زمرة پیچ های پر مقاومت می باشند. عدد اول با ضریب ۱۰۰۰ معرف مقاومت کششی نهایی بر حسب  $\text{kg/cm}^2$  و ۱۰٪ خالص نسبت عدد دو، مقاومت نهایی بیانگر مقاومت تسليع این پیچ هاست.

از قطرهای ۱۲ میلیمتر (M12) تا ۳۶ میلیمتر (M36) در بازار یافت می شوند.

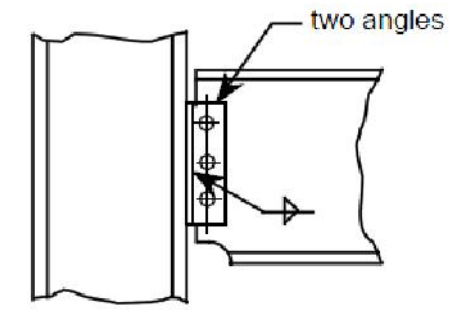


## أنواع اتصالات پیچ :

بر اسباب هنر اسلام انتقال و مسیر انتقال بار پیچها می توانند تحت اثر :

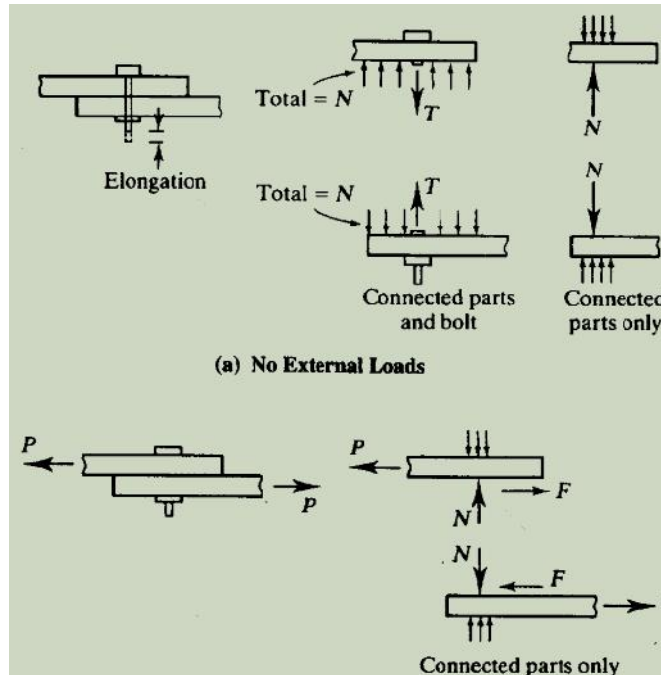
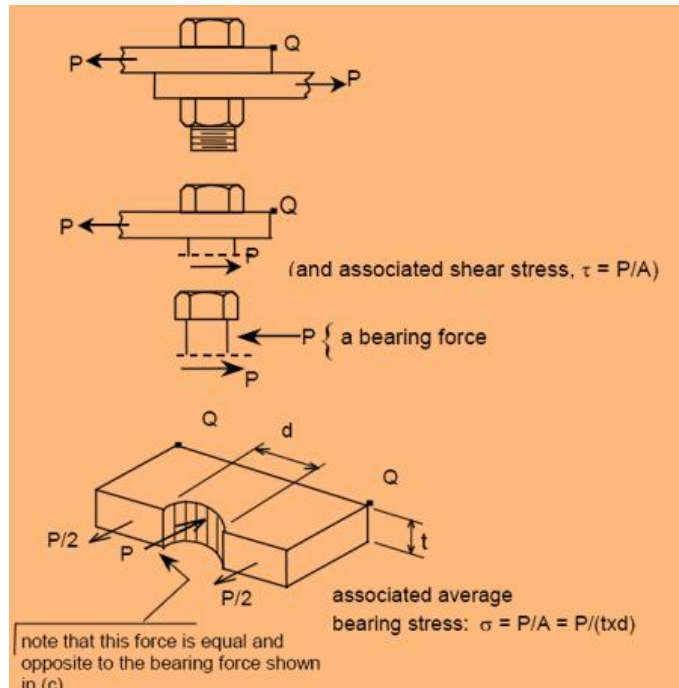


Eccentric Joint



Standard Beam Connection

قطعاتی که توسط پیچ به یکدیگر متصل شده‌اند، پس از پشت سر گذاشتن مقاومت اصطکاکی بجزئی بطور جوشی در خلاف جوهر هم‌دیگر می‌لغزند. پس از لغزش، بداره پیچ بر بداره سوراخ پسیده و نیروهای اعمالی با ایجاد تنش برشی در پیچ یا تنش خشاری به بداره پیچ منتقل می‌شوند.



با ایجاد نیروی پیش تنیدگی در پیچ، خشاری معادل این نیرو بر روی هر دو قطعه مقاومت در برابر برش بوجود می‌آید.

## اتصال انتگاری

مکانیزم های  
اتصالات پیچی

## اتصال اصطکاکی

## اِنھال اِنگلی:

اصولاً این اتصالات مقاومت لازم در برابر تقاضای واردہ را بر اساس سطح مقطع پیچ متکی به جداره سورخ های تعییه شده در ادوات اتصال تامین می کنند.

◀ مکانیزم های گسیختگی در این نوع اتصال عبارتند از:

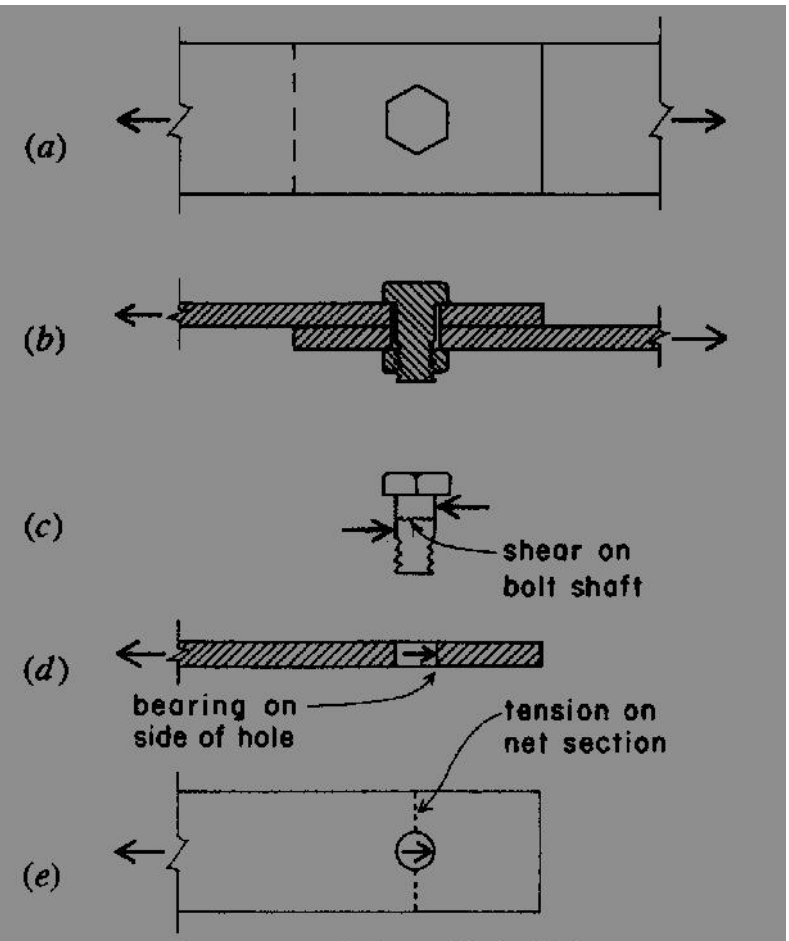
۱) گسیختگی یا تسليیم ورق تهت اثر کشش

۲) گسیختگی برشی پیچ

۳) لعیدگی ورق ولعیدگی بدنہ پیچ

۴) پارگی انتهایی ورق در اثر برش

۵) برش قالبی



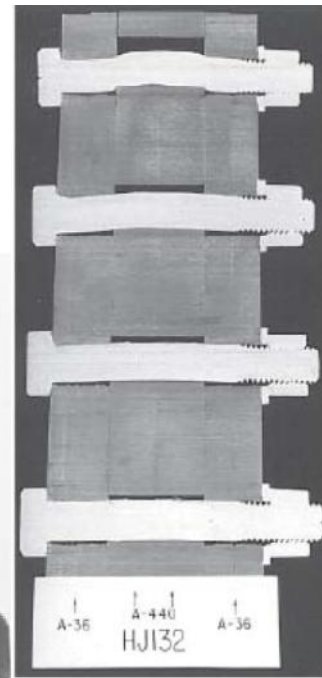
## اتصال انتگاری:

### گام اول: کنترل مقاومت کششی طراحی در ورق هایی اتصال

$$T_u \leq \varphi P_n = 0.9 F_y A_g$$

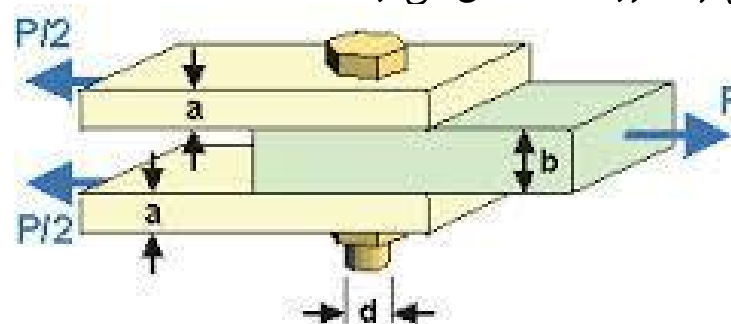
$$T_u \leq \varphi P_n = 0.75 F_u A_e$$

به ترتیب سطح مقطع کل و سطح مقطع خالص مؤثر هستند.  
 $A_e$  و  $A_g$  تنش تسییم ورق  
 $F_y$  تنش کششی نهایی ورق



### گام دوم: کنترل مقاومت بر بشی پیچ ها

صورتی که سطح بر بش از سطح دندانه دار پیچ عبور کند، آین نامه های طراحی مقاومت طراحی بر بش را حدود ۳۰٪ کاهش می دهد.

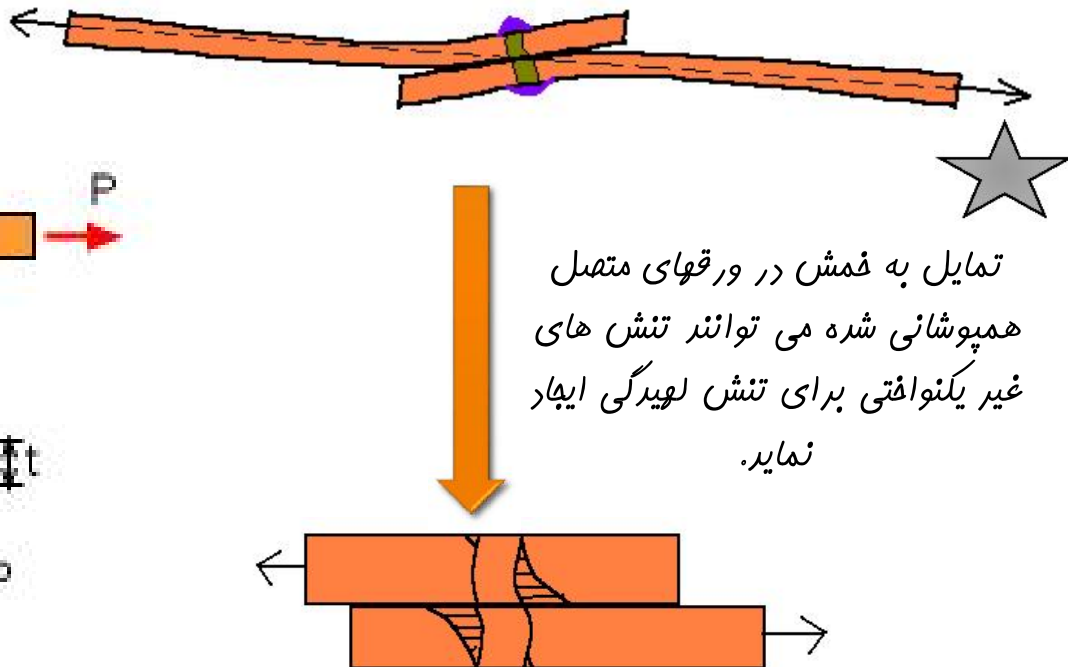
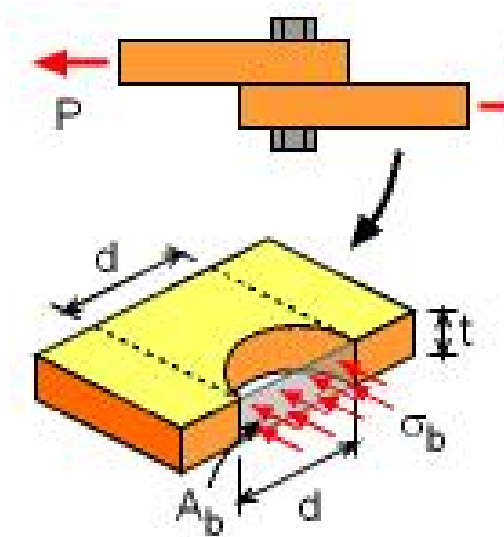
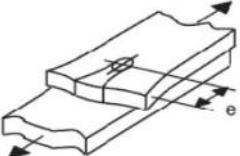
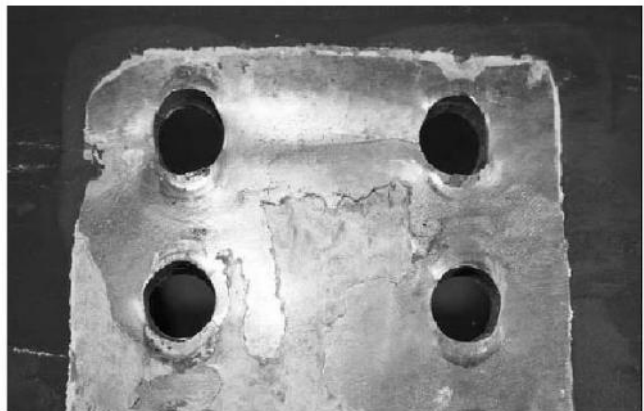


## اِنْهَال اِتْلَائِي:

### گُم سوْم : کنترل تنش های لحیدگی

در اتصالات اتلایی به مخف و قوع لغزش بین ورق های اتصال، بدنه پیپها با جداره سوراخ تماس پیدا کرده که تنشهای فشاری ناشی از این فشار، تنش های لحیدگی خوانده می شود.

$$f_p = \frac{P}{n_b d_b t}$$



تمایل به خمش در ورقهای متصل همپوشانی شده می توانند تنش های غیر یکنواختی برای تنش لحیدگی ایجاد نمایند.

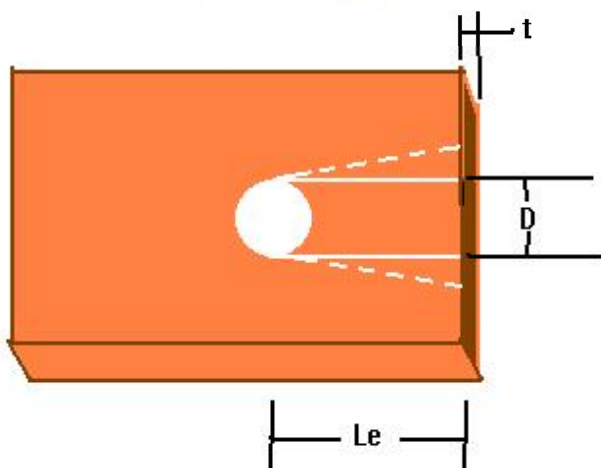
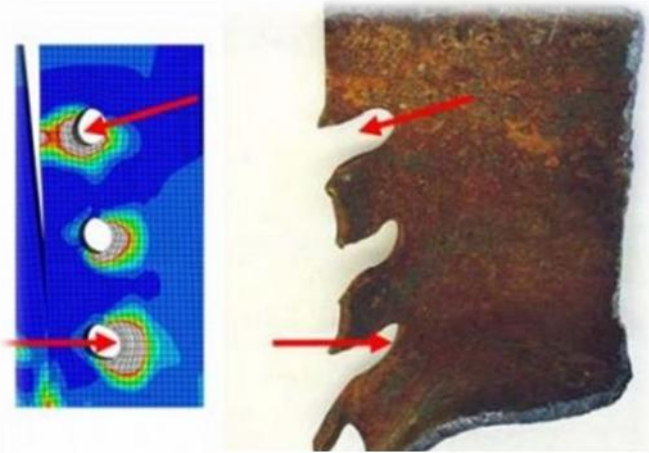
## اِنْهَال اِنْتَهَائِي:

$$R_n = 2t\tau_u^p \left( L_e - \frac{D}{2} \right)$$

**گُلْم چهارم** <sup>۸</sup> پارگی انتهایی ورق در اثر برش

در اثر اعمال نیروی فارجی انتهایی ورق ها ممکن است در اثر برش گسیخته شوند.

که  $D$  قطر سوراخ، و فاصله مرکز تا مرکز آن تا لبه انتهای  $L_e$  می باشد. با توجه به اینکه  $\tau_u^p = 0.7F_u$  و همچنین حداقل فاصله توصیه شده  $2.67D$  برای فاصله مرکز تا مرکز پیچ ها:



$$R_n = 3F_uDt$$

که بر اساس توصیه AISC و مبادث دهم مقررات ملی ساختمان این رابطه بصورت زیر پیشنهاد شده است:

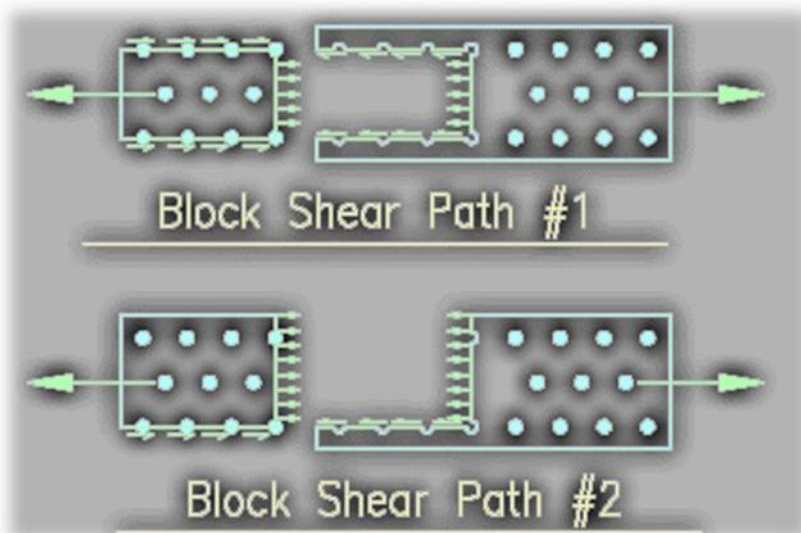
$$R_n = 2.4F_uDt$$

## اِنْهَال اِنْتَگَاری:

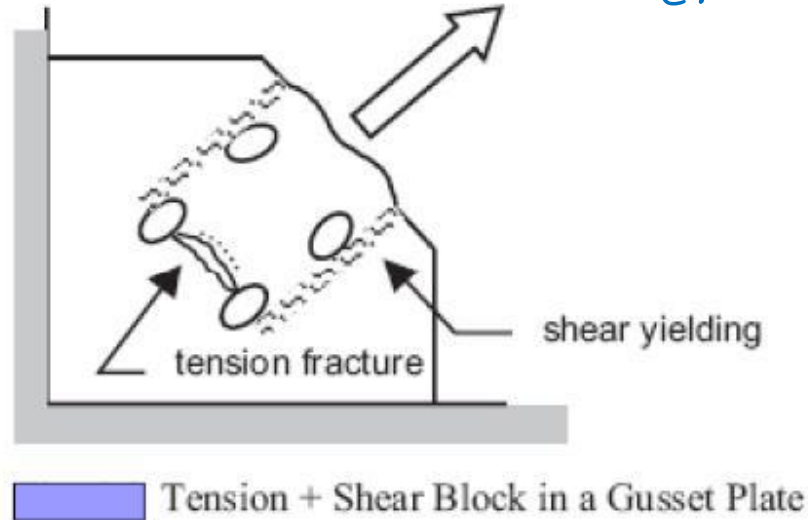
### گُلْم پنجم: پُرْش قَالِبِی

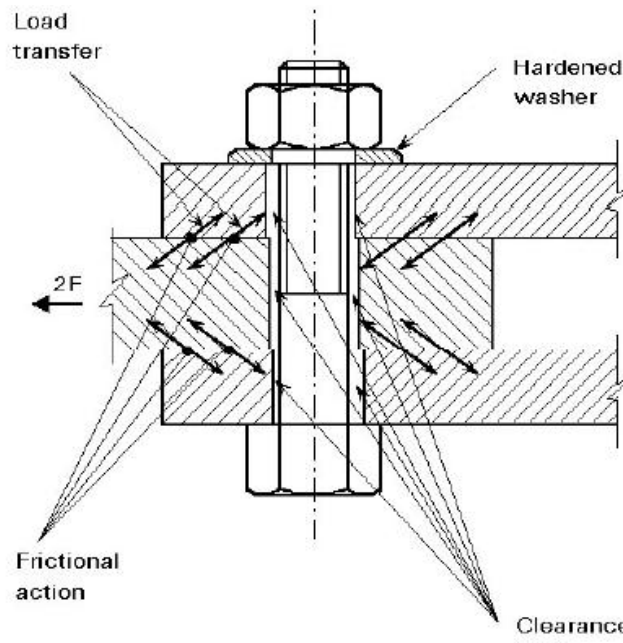
$$R_n = \min(0.6F_u A_{nv} + U_{bs} F_u A_{nt}, 0.6F_y A_{gv} + U_{bs} F_u A_{nt})$$

نیروی واردہ به اِنْهَال به اندازه‌ای باشد که از ترکیب شکست برشی باکششی در طول یک مسیر در لبه قطعه متصل شده رخ دهد.  
 سطح  $A_{nt}$  سطح مقطع کلی تهت برش، سطح  $A_{gv}$  مقطع فالص تهت کشش، سطح  $A_{nv}$  سطح مقطع فالص تهت برش، ضریب توزیع تنش که برای توزیع یکنواخت تنش کششی در انتهای عضو برابر **۱.۰** و برای توزیع غیر یکنواخت آن برابر **۰.۵** است.

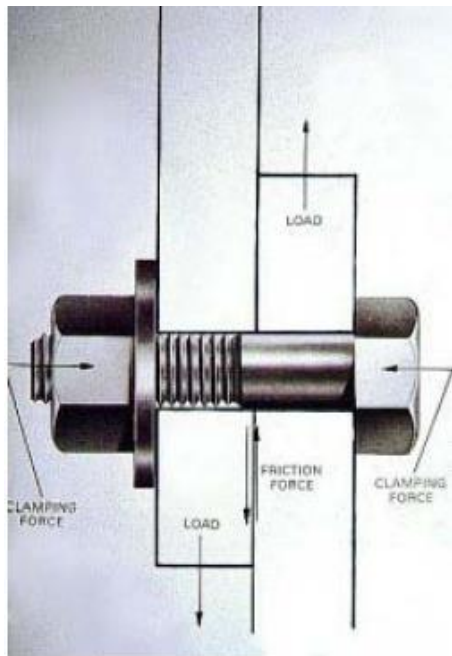


این مود شکست بسیار شبیه حالاتی می‌باشد که خاصه‌تر به برای پیچ‌ها، عیت نشده باشد.





مکانیزم های گسیختگی در این نوع اتصال نیز مانند اتصال انتالی می باشد.



Research Council on Structural Connections (RCSC) prescribes four tightening procedures.

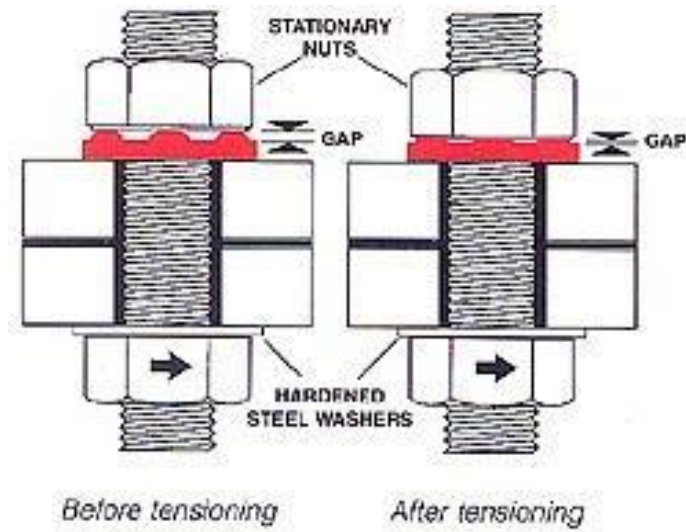
1. Turn of the nut method
2. Calibrated-wrench tightening
3. Installation of alternate design bolts
4. Direct-tension-indicator tightening

## اتصال اصطکاکی :

با ایجاد نیروی پیش تنیدگی  $T_b$  در پیچ، خشاری معادل این نیرو بر روی ورق های اتصال وارد می شود.

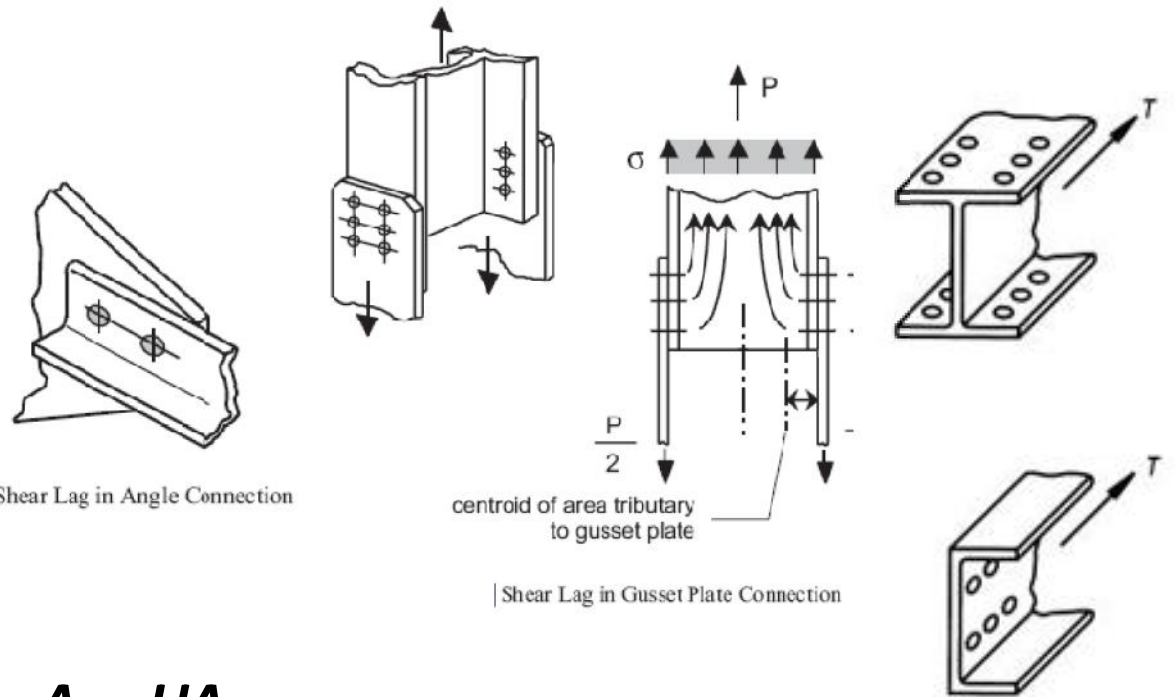
در مواردی که قرار است هیچ گونه لغزشی بین ورقهای اتصال رخ ندهد، از این اتصالات استفاده می شود.

به مخف آغاز لغزش بین ورق ها، نیروی اصطکاکی  $N_f = \mu T_b$  باعث جلوگیری از لغزش می شود.



## Direct Tension Indicating Washers

## پر پره تاپیہ پڑھی :



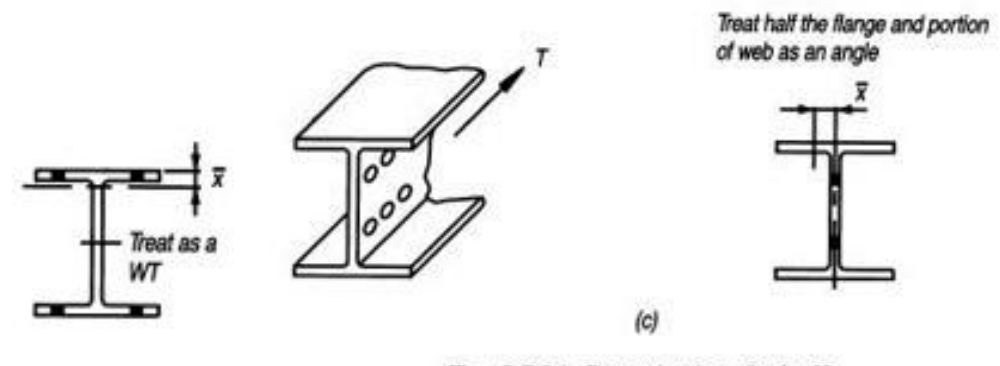
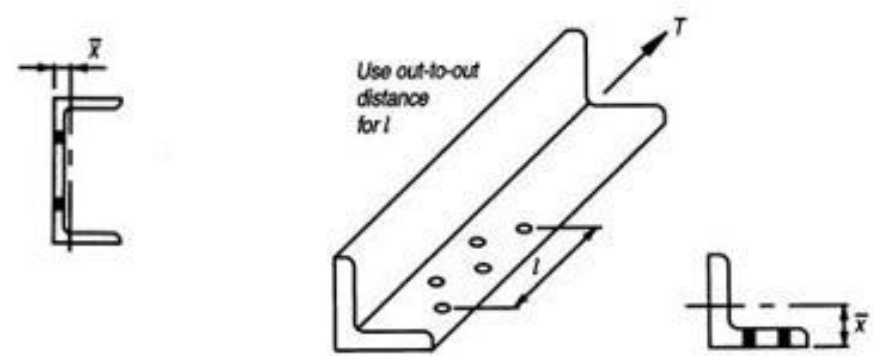
Shear Lag in Angle Connection

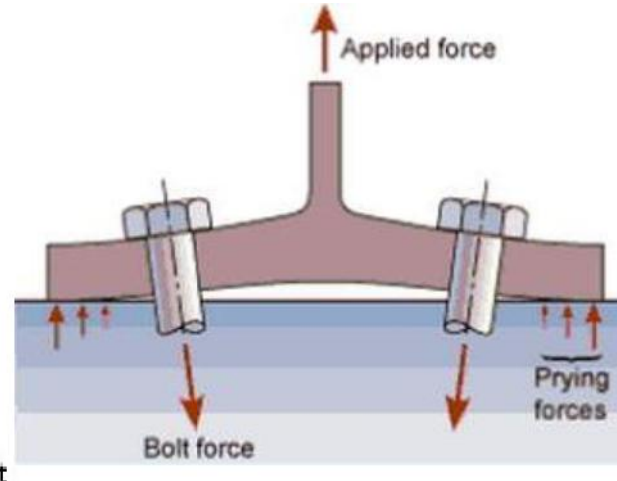
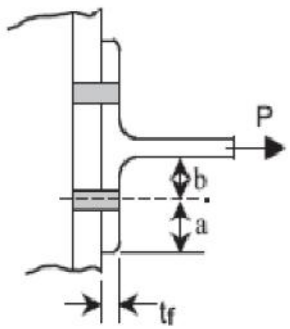
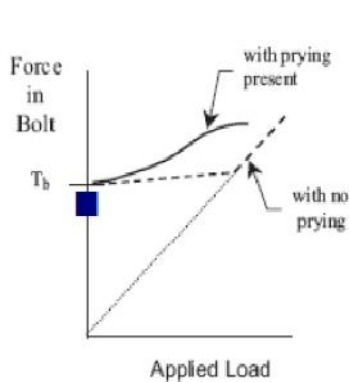
centroid of area tributary  
to gusset plate

| Shear Lag in Gusset Plate Connection

$$A_e = U A_n$$

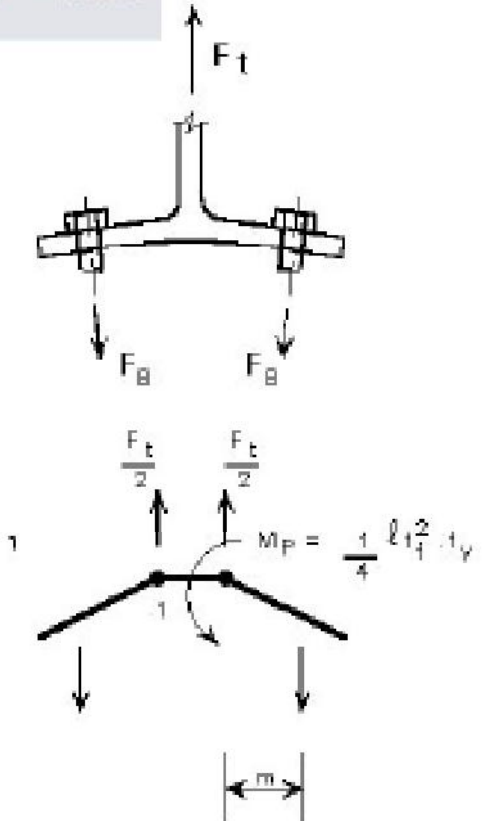
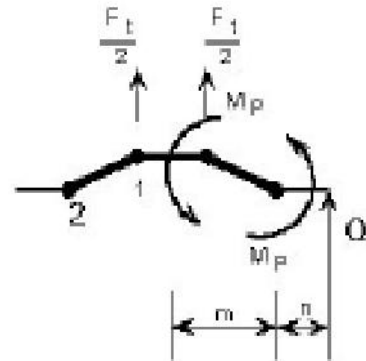
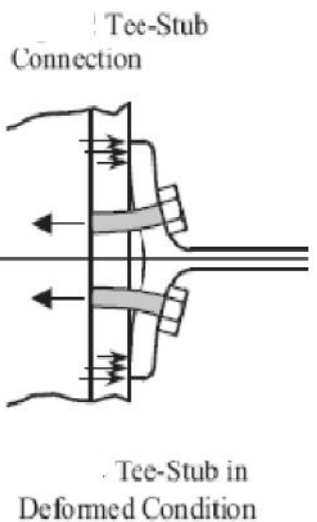
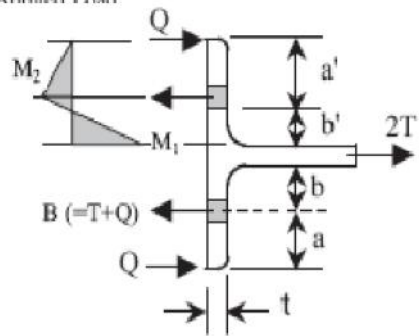
$$U = 1 - \frac{\bar{x}}{L} \leq 0.9$$

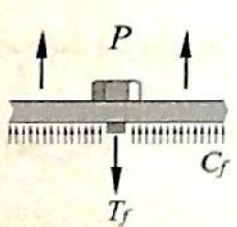
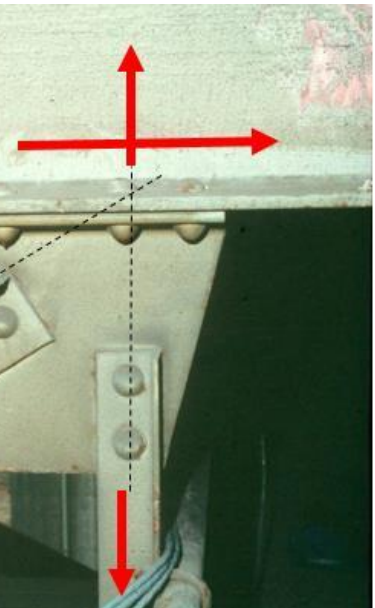
Fig. C-D3.1. Determination of  $\bar{x}$  for  $U$ .Fig. C-D3.2. Determination of  $l$  for  $U$  for bolted connections with staggered holes.



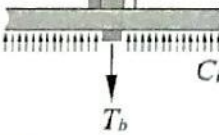
اُنر اھرمی :

- Force in Bolt
- Applied Load
- Bolt Force vs. Applied Load
- Prying Present

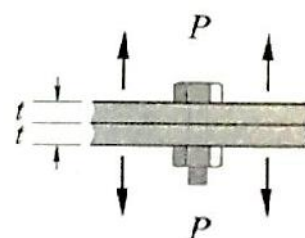




پ - نمودار آزاد اتصال پس از  
اعمال نیروی  $P$



پ - نمودار آزاد اتصال قبل از  
اعمال نیروی  $P$



الف - بیچ اصلیکاکسی تحت گشش

$$T_f = T_b + \frac{P}{1 + A_p/A_{nb}}$$

$$C_f = C_i - P \frac{A_p/A_{nb}}{1 + A_p/A_{nb}}$$

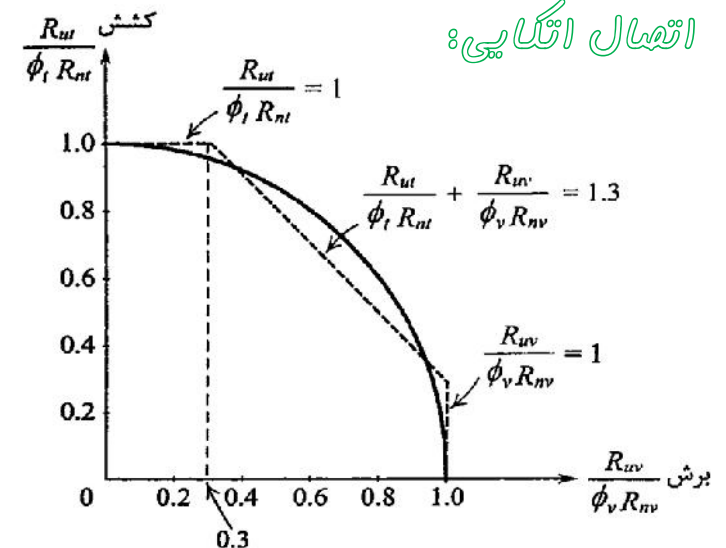
$$\left( \frac{R_{ut}}{\phi_t R_{nt}} \right)^2 + \left( \frac{R_{vt}}{\phi_v R_{nv}} \right)^2 \leq 1$$

$$R_{nt} = F_{nt} A_{nb}$$

$$R_{nv} = F_{nv} A_{nb}$$

## اندکش نیروی گشش و پرس:

اتصال اتصالی:



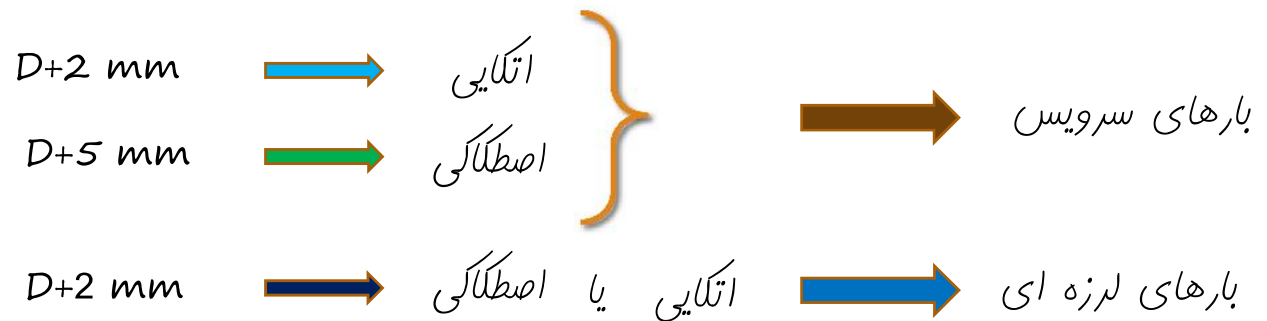
اتصال اصلیکاکسی:

با اعمال نیروی گششی، نیروی خشاری بین ورقهای اتصال کاهش و نیروی گششی پیچ افزایش می یابد. ( $A_p$  مساحت ورق در هال تماس،  $A_{nb}$  مساحت پیچ)

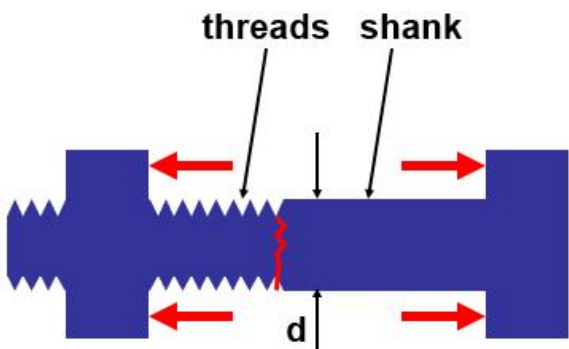
$$\frac{R_{uv}}{R_{nv}} + \frac{T_u}{T_b} \leq 1$$

## نگاتی پیچ در خصوص اتصالات پیچی:

در اتصالات اصطلاحی ظرفیت مجاز پیچ در بارهای لرزه‌ای زلزله تشدید یافته و حداقل مورد انتظار میتواند معادل با ظرفیت مجاز پیچ در هالت اتصالات اتکایی در نظر گرفته شود.



در پیچ‌ها به طور معمول آن سطح برش از بخش رزوه شده بگذرد مقاومت در برابر برش کمتر می‌باشد و در هالتی که از محل رزوه شده نگذرد تا ۴۰٪ مقاومت افزایش پیدا می‌کند این معنم در تعیین تعداد پیچ‌های اتصالات متهم بارهای لرزه‌ای بسیار تعیین‌کننده می‌باشد.



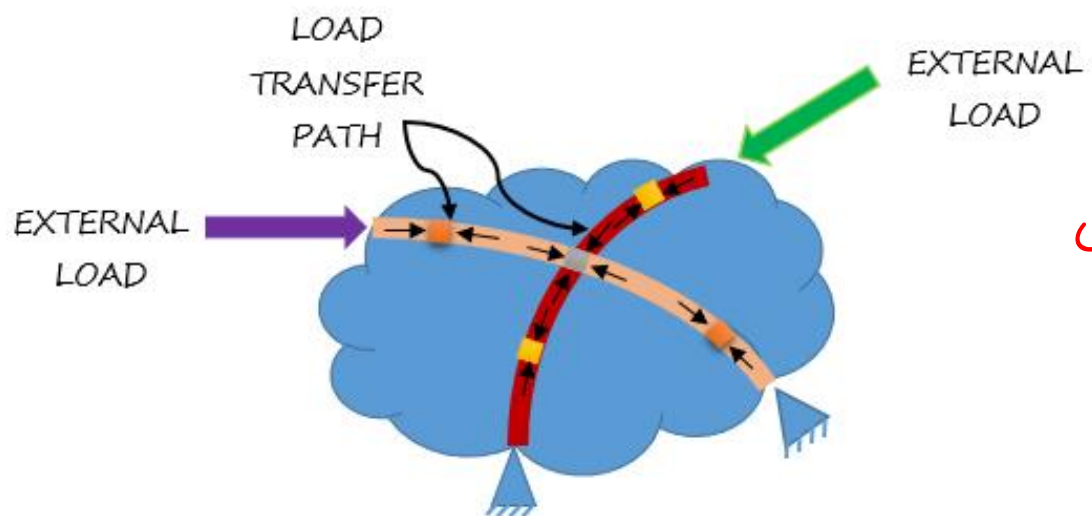
## نگاتی پندر در خصوص انتقالات پیچی:



قضیه هر پایین در مکانیک محیط های پیوسته :

- به لطف معیارهای شاست ایمن باشد و در محدوده مجاز تنش محلی تشکیل دهنده محیط باشد.
- همچنین شرط بیان شمول تعادل، ارضاء نماید.

اگر مسیر انتقال باری در یک محیط پیوسته فیزیکی وجود داشته باشد که آن مسیر :

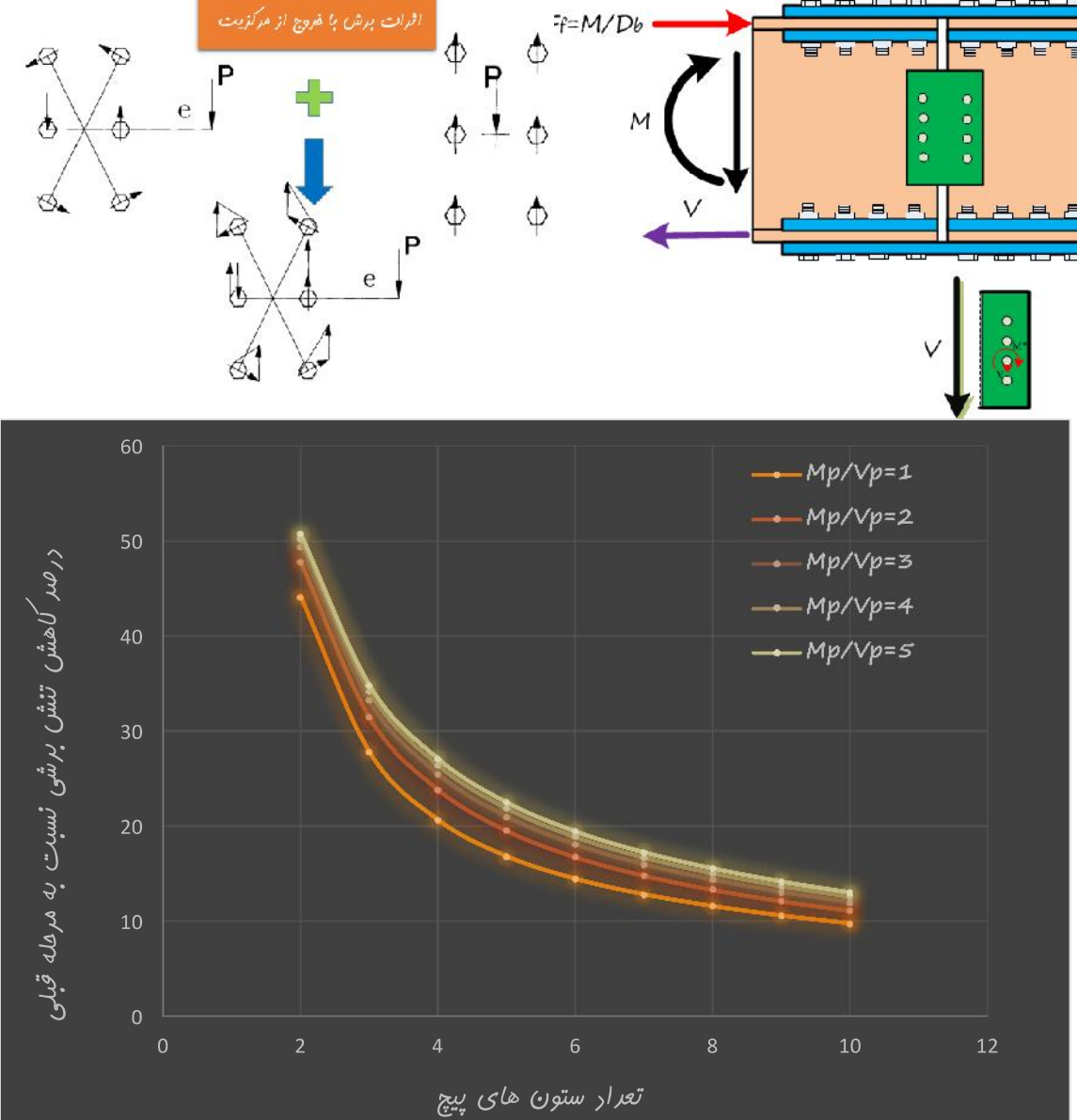


حتماً مسیر اتفاق شده مسیر ایمن و محافظه کارانه ای فواهد بود و مسیرهای هر پایین تر از این مسیر نیز وجود دارد.

## نگاتی پندر در خصوص اتصالات پیچی:

به عنوان مثال برای تیرهای I شکل که می‌توان برای اجزای مختلف آن به راحتی وظیفه تحمل یک تلاش فلاص را در نظر گرفت، در ناحیه وصله سوم بارهای وصله بال و جان را نظر به قصیه هد پایین از تلاشهای واردہ کاملاً جدا کرد و لذا طراحی هالت معقول تر و بھینه تری خواهد داشت.

به طور معمول این اشتباہ مصطلح در طراحی مهندسی وجود دارد که برای جان تیر نیز سومی از لنگر در نظر گرفته می‌شود که این لنگر باعث پیچش در محل اتصال و مجموعه پیچهای جان می‌گردد با در نظر گرفتن پیچش ناشی از برش جان اصولاً با زیاد شدن ستون پیچها طرح ممکن است دچار واگرایی شود.

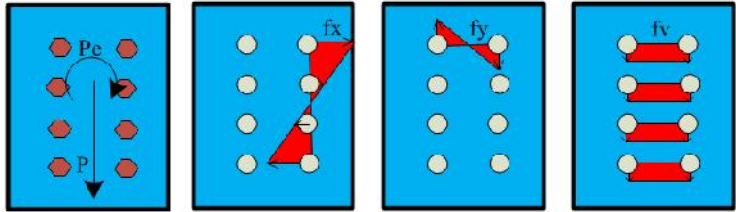


## نگاتی پندر در خصوص انتقالات پیچی:

### ★ روش طراحی قیود انتقالات:

مبانی طراحی قیود انتقال از جمله پیچ ها و جوشها بر مبنای کنترل تنش  
الاستیک در قطعات می باشد اما ایا این روند درست است؟

$$f_x = \frac{P_{e,y}}{J} \quad f_y = \frac{P_{e,x}}{J} \quad f_v = \frac{V}{nA_b}$$

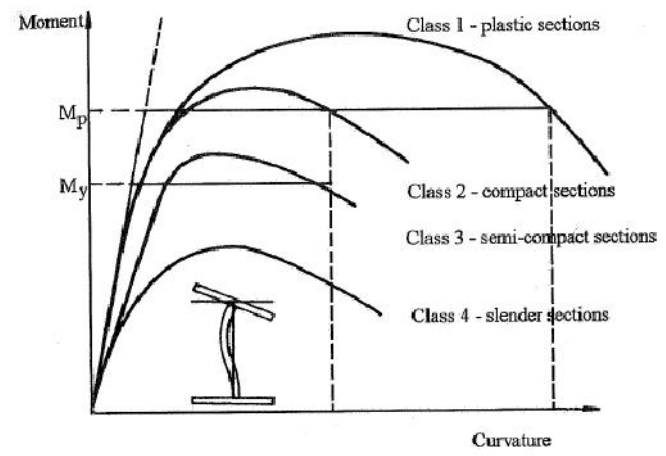


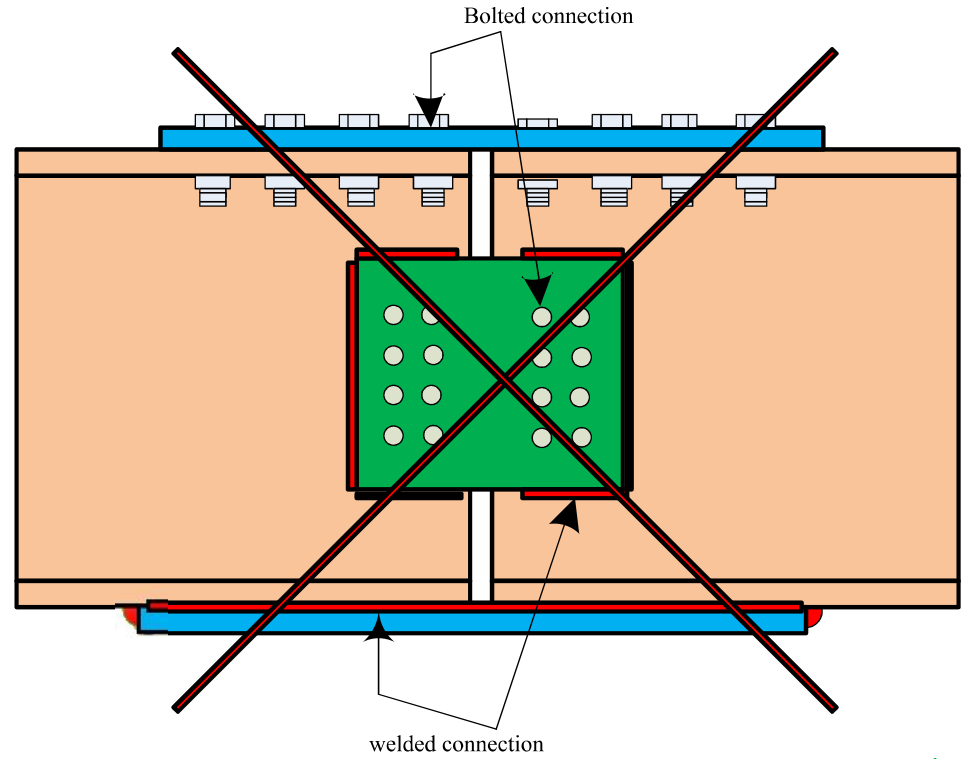
$$f_i = \sqrt{(f_{i,y})^2 + f_{i,x}^2}$$

سفتی الاستیک متناظر  
با سطح مقاومت  
الاستیک هائز اهمیت  
می باشد.

درآکثر تنش ایجاد شده در  
هنرسه، مقایسه با  
معیارهای شکست

مقاومت متناظر با یک مود  
فرابی یا شکست در تلاش  
کام





## نگاتی پندر در خصوص اتصالات پیچی:

استفاده از باربری همزمان پیچ و جوش در یک موضع اتصال مجاز نیست.

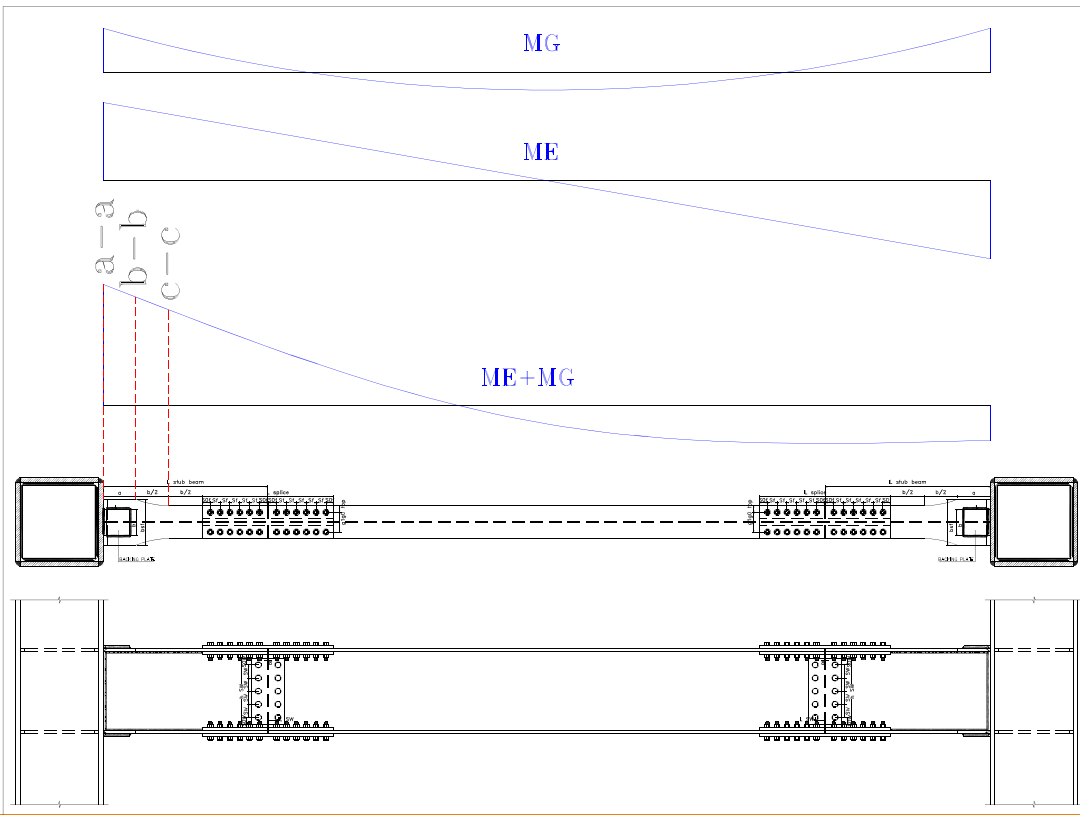
دلیل: اختلاف سفتی این دو نوع قید و عدم هماهنگی و رختار یکسان جوش و پیچ در انتقال نیروهای رفت و برگشتی ناشی از زلزله

★ طول گیره زیاد برای پیچهای اتصالات اتکایی میتواند باعث ایجاد فمش در طول پیچش و در اتصالات اصطکاکی با توجه به زیاد شدن طول و کاهش سفتی از دیاد طول نسبی پیچ بیشتر می‌گردد و نیروی صرف پیش تنیدگی باعث از دیاد طول پیچ و عمل کاهش نیروی خشاری برای بسیج کردن اصطکاک می‌گردد.

## طراحی نمونه اتصالات :

### طراحی وصله تیر :

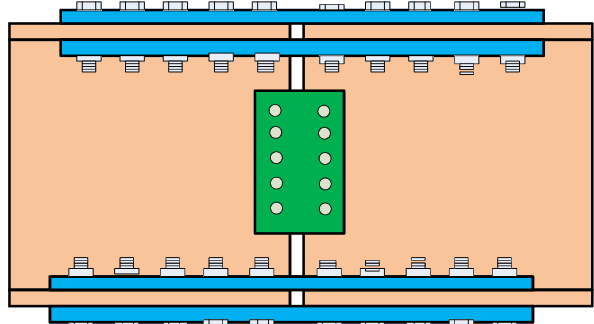
- تقاضای وصله تیرها در ناحیه اتصال پون عقب تر مفصل پلاستیک واقع شده است اصولاً نظر به شبکه‌گردایان لنگر تقاضای خمشی آن از ظرفیت حداقل مورد انتظار مفصل پلاستیک تیر کمتر می‌باشد. خیال واقع می‌توان برای ظرفیتی



معادل با :

$$M_{exp} = Z_p F_y \quad V = \frac{W_g \times L_h}{2}$$

$$V_p = \frac{2M_p}{L_h} \quad V_0 = V_p + V$$



وصله تیر با ۸ ورق اتمال(۶ ورق بال و ۲ ورق جان)

## ظرفیت و صله تیر :

۱- درس اولیه برای ابعاد ورق های پوششی خوqانی و تھتانی

۲- محاسبه ظرفیت های فمشی برای ورق خوqانی و تھتانی و جمع مینیمم های آن ها به

عنوان ظرفیت فمشی ناشی از مسیرهای گسیفتگی محتمل شامل:

- **Yielding**

$$T_{yielding,top} = 0.6F_y \times t_{splice} \times b_{top-splice} \times R_y$$

- **Rupture**

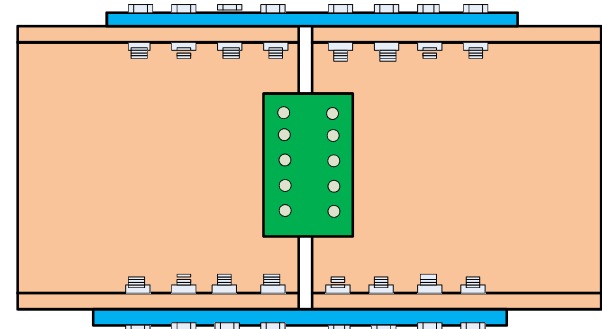
$$T_{rupture,top} = 0.5F_u \times R_t \times [(t_{splice} \times b_{top-splice}) - 2 \times (t_{splice} \times (D_f + 0.2))]$$

- **Block shear**

$$A_{v,top} = 2 \times [S_2 + (n_f - 1) \times S_1 - (n_f - \frac{1}{2}) \times (D_f + 0.2)] \times t_{splice}$$

$$A_{t,top} = (b_f - 2 \times S_2 - (D_f + 0.2)) \times t_{splice}$$

$$T_{blockshear,top} = R_t \times F_u \times (A_{v,top} \times 0.3 + A_{t,top} \times 0.5)$$



وصله تیر با ۴ ورق اتمال(۲ ورق بال و ۲ ورق جان)

## طراحی و سایه تیز :

۱۴- مقایسه مینیمم فمش های خود با حداقل فمش موردنظر

$$M_{top,splice} = \min \{T_{yielding,top}, T_{rupture,top}, T_{blockshear,top}\} \times (d_b + t_{splice})$$

$$M_{capacity} = M_{bot,splice} + M_{top,splice}$$

$$M_{Demand} = 0.6 \times 1.1 \times M_z = 0.6 \times 1.1 \times F_y \times Z_b$$

$$Ratio = \frac{M_{Demand}}{M_{capacity}} < 1$$

۱۵- طراحی پیچ های ورق اتصال بال بر اساس حداقل برش موردنظر

$$V_{max} = \frac{M_{Demand}}{d_b} \quad f_v = \frac{V_{max}}{2 \times n_f \times A_b}$$

$$F_v = 0.2 F_u \longrightarrow f_v < F_v$$

## طرایی و صله تیر :

۶- طرایی تعداد و آرایش پیچ های جان تیر بر اساس حداقل بش موردن انتظار،

$$V_{\max} = \frac{2M_p}{L_h} \quad f_{v1} = \frac{V_{\max}}{2n_w A_b}$$

$$n_w = 2k + 1 \rightarrow J = 2 \sum_{i=1}^k A_b (i \times S_1)^2 \rightarrow y_{\max} = kS_1$$

$$n_w = 2k \rightarrow J = 2 \sum_{i=1}^k A_b \left( (i - \frac{1}{2}) S_1 \right)^2 \rightarrow y_{\max} = (k - 0.5) S_1$$

$$f_{vt} = \frac{T y_{\max}}{2J} = \frac{(V_{\max} \times S_2) y_{\max}}{2J}$$

$$f_v = \sqrt{f_{vt}^2 + f_{v1}^2}, \quad F_v = 0.2F_u \Rightarrow f_v < F_v \text{ OK}$$

۷- طرایی تعداد و آرایش پیچ های جان تیر بر اساس حداقل بش موردن انتظار،

$$A_v = [h_{wp} - n_w (D_f + 0.2)] \times t_{wp}$$

$$V = 0.3F_u A_v \times 2 \longrightarrow V < V_{\max}$$

۸- کنترل لهیدگی ورق جان تیر

$$f_p = \frac{V}{D_w \times n_f \times t_w} \rightarrow F_p = 1.2F_u \longrightarrow f_p > F_p$$

## طراحی نمونه اتصالات :

### طراحی وصله ستون :

وصله ستون در قاب های فمشی ویژه بایستی شرایط بند های زیر را برآورده کنند.

در صورت استفاده از وصله پوششی،  $M_s$  و  $V_s$  به ترتیب مقاومت های فمشی و برشی وصله باید به شرح زیر در نظر گرفته شود:

$$M_s = 0.6 Z_c F_{ye}$$

حداقل مقاومت فمشی وصله ستون

$$V_s = \frac{0.6 \sum M_{pc}}{h_s}$$

حداقل مقاومت برشی وصله ستون

$$\sum M_{pc} = \sum Z_c (F_y - f_a)$$

موقعیت وصله هایی باید به اندازه ۱۳۰ سانتی متر از بال تیر در اتصال تیر به ستون خاصیت داشته باشند.



## طرایی و ملله ستوون :

### گام های طراحی:

۱- تعیین بارهای طراحی با توجه به خصوصیات هندسی ستون ها

$$M_s = 0.6Z_c F_{ye} \quad V_s = \frac{0.6 \sum M_{pc}}{h_s}, \quad \sum M_{pc} = \sum Z_c (F_y - f_a), \quad P$$

۲- تعیین سوم نیرویی بال ها و جان

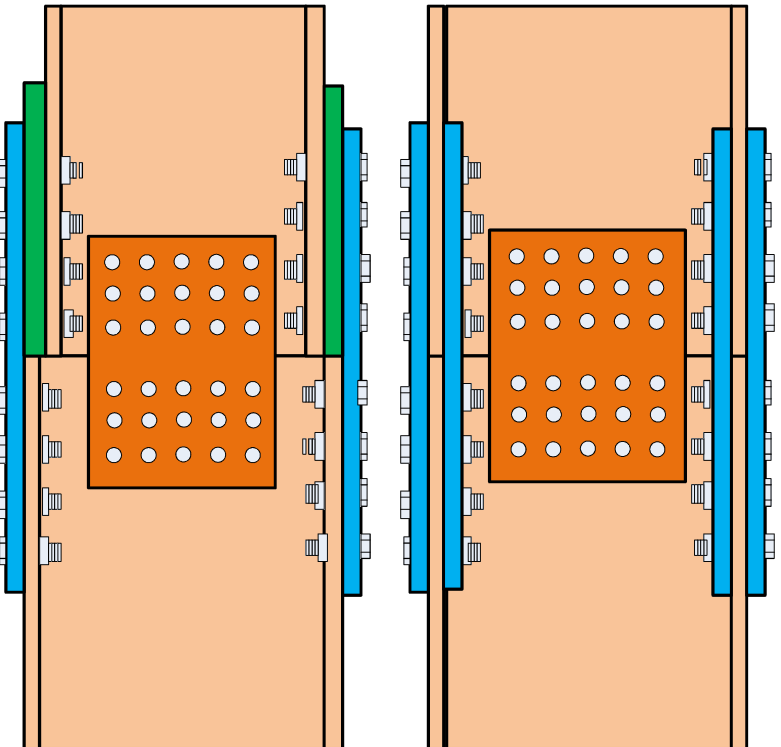
$$P_f = \frac{M_s}{d_c} + \frac{PA_f}{A} \quad V_f = 0$$

$$P_w = \frac{PA_w}{A} \quad V_w = V$$

ب - ممله ستون استفاده از  
ورق پر کننده

الف - ممله ستون برون  
استفاده از ورق پر کننده

اتصال پیچی و ممله ستون



## طرایی و ملله سُنْوَر :

گام های طرایی:

$$f_f = \frac{P_f}{A} \leq 0.6F_y \Rightarrow A \geq \frac{P_f}{0.6F_y}$$

۳- طرایی و کنترل ورق اتصال بال

$$f_v = \frac{P_f}{nA_b} \leq F_v \Rightarrow n \geq \frac{P_f}{A_b F_v}$$

۴- تعیین تعداد پیچ های موردنیاز در ناحیه اتصال بال

۵- کنترل ها شامل تنش های کششی و فشاری و گسیفتگی قالبی و لهیدگی ورق

$$R_n = 0.6F_u A_{nv} + U_{bs} F_u \leq 0.6F_y A_{gv} + U_{bs} F_u A_{nt}$$

$$f_p = \frac{P_f}{nd_b t} \leq F_p = 1.2F_u$$

## طرایی و ملے سُنْوَر :

گام‌های طرایی:

۵- طرایی و کنترل ورق اتصال بان

$$f_v = \frac{3}{2} \frac{V_s}{A_w} < F_v = 0.4 F_y$$

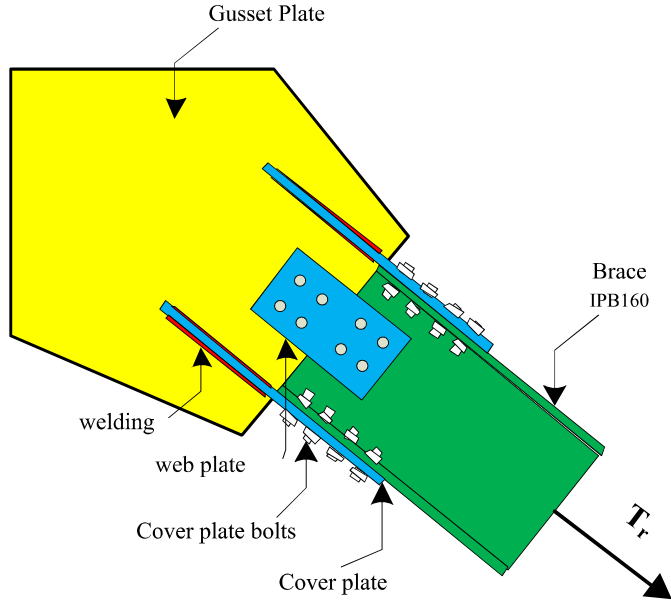
$$f_a = \frac{P_w}{A} \quad T = V_s \times a \Rightarrow f_b = \frac{T}{S} \longrightarrow \frac{f_a}{F_a} + \frac{f_b}{F_b} < 1$$

۶- طرایی و کنترل ورق اتصال بان

$$f_{vx} = \frac{1}{2} \frac{V_s}{\sum A_b} \quad f_{vy} = \frac{1}{2} \frac{V_y}{\sum A_b}$$

$$f_{tx} = \frac{1}{2} \frac{T \times y}{J} \quad f_{ty} = \frac{1}{2} \frac{T \times x}{J}$$

$$f_r = \sqrt{(f_{vx} + f_{tx})^2 + (f_{vy} + f_{ty})^2} < F_v$$



طرایی نمونه اتصالات :

طرایی اتصال مهاربند به چرخ گلس :

گام‌های طرایی :

۱- تعیین نیروی طرایی اتصال مهاربند **ASD**

الف: نیروهای کششی حداقل مجاز مهاربند معادل

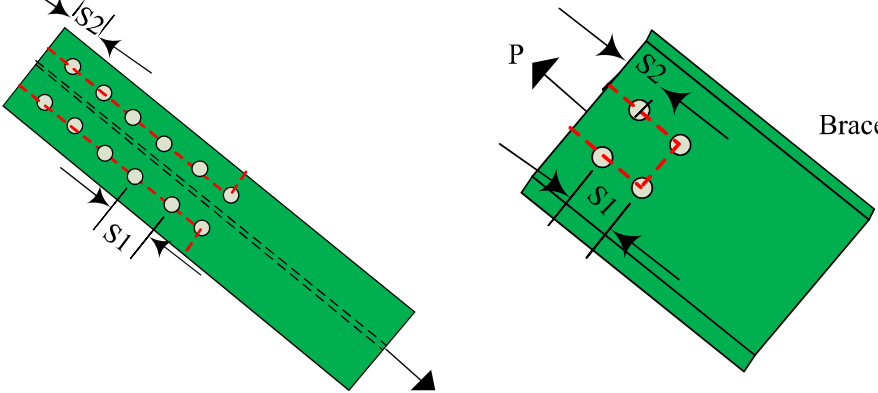
ب: حداقل نیروی مجاز که از طرف سیستم سازه به مهاربند منتقل می‌گردد.

۲- تعیین تعداد پیچ‌های مورد نیاز و توزیع آن‌ها در محل بالا و جان

$$n = \frac{Tr}{A_{bolt} \times F_v}$$

## طرایی اتصال مهاربند په ورق گلست:

۳- کنترل گسیختگی قالبی برای عضو مهاربند با احتوجه به آرایش در نظر گرفته شده در مرحله قبل فرمول کنترل معیار گسیختگی قالبی که در حالت تنش مجاز تقسیم بر ۲ هم دارد.

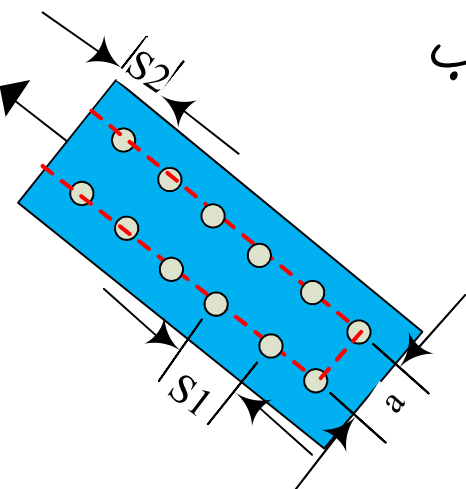


۴- طرایی ورق های بال (Cover plate) و کنترل های لازم برای (Gusset Plate) و اتصال آن به شامل تنش های خشاری و کششی و گسیختگی قالب

$$f_t = \frac{P}{A_e} < 0.5F_u \quad f_t = \frac{P}{A} < 0.6 \times F_y$$

$$r = \frac{1}{\sqrt{12}}t$$

$$\frac{L}{r} \rightarrow F_a \Rightarrow \frac{f_a}{F_a} < 1$$



## طراحی نمونه اتصالات :

### طراحی اتصال تیر په گرفت میانگز:

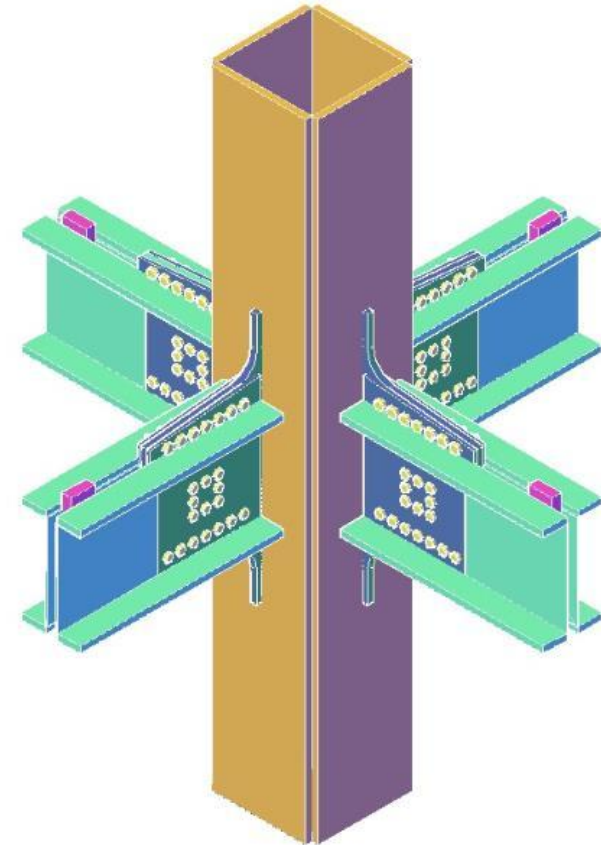
- محاسبه حداقل نیروهای واردہ مورد انتظار بر حسب مشتملات هندسی مقطع تیر

$$Z_p = b_f t_f (h_w + t_f) + \frac{h_w^2}{4} t_w$$

$$M_{exp} = R_y Z_p F_y \quad V = \frac{W_g \times L_h}{2} \quad M_p = 1.1 \times 0.6 \times R_y Z_p F_y$$

$$V_p = \frac{2M_p}{L_h} \quad V_0 = V_p + V \quad W = W_g \times L_1 \quad V_{ES} = V_0 + W$$

$$M_{gravity} = \frac{W_g \times L_1^2}{2} \quad M_{ES} = M_p + M_{gravity} + V_0 \times L_1$$



## طراحی اتمال تیر پو ورق میانگزره:

$$V = V_p + \frac{W}{2}$$

$$M = M_p + V_p \frac{L_1}{2} + W_g \frac{L_1^2}{8}$$

$$f_{x \max} = \frac{M \times diy_{\max}}{J} \quad f_{y \max} = \frac{M \times dix_{\max}}{J}$$

$$f_{ys} = \frac{V}{\sum nA} \quad f_r = \sqrt{(f_{y \max} + f_{ys})^2 + f_{x \max}^2}$$

$$F_r = 0.2F_u \quad f_r < F_r$$

۲- طراحی پیچ های اتمال جان تیر به ورق میان گزره:

۳- کنترل خمشی و برشی ورق میانگزره برای خنثامت

$$V_u = \tau_{yp} d_c t_{TH} \left(1 + \frac{3.464\omega^2}{d_c d_b}\right) \quad \text{where: } \tau_{yp} = 0.6F_{yTH} \text{ and } \omega = L_{TH} \sin(Arc \tan(\frac{15(cm)}{L_{TH}}))$$

$$Z = \frac{1}{4} t_{TH} h^2$$

$$M_{ES} \leq Z \times F_y$$

## طراحی اتصال تیر به ورق میانگذر:

۴- کنترل خمشی اتصال با جان اخزایش یا غته به ورق میان‌گذر بر اساس مودهای گسیختگی

$$S = \frac{I}{C} \longrightarrow M_{yielding} = 0.6F_y S$$

- خمش ناشی از تسليیم خولاد

- خمش معادل گسیختگی قالبی

$$T_{blockshear} = 0.6F_u A_{nv} + U_{bs} F_u \leq 0.6F_y A_{gv} + U_{bs} F_u A_{nt}$$

$$\longrightarrow M_{blockshear} = T_{blockshear} \times d_b$$

- خمش معادل با rupture

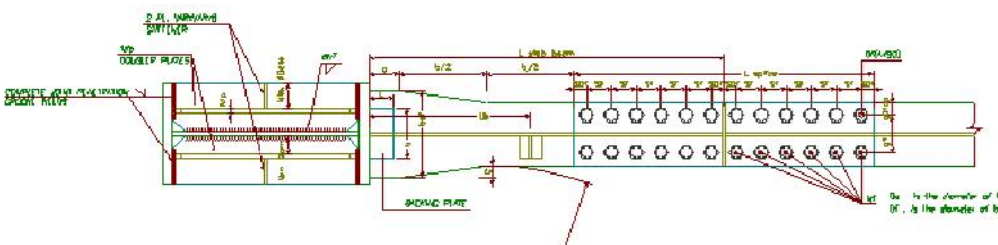
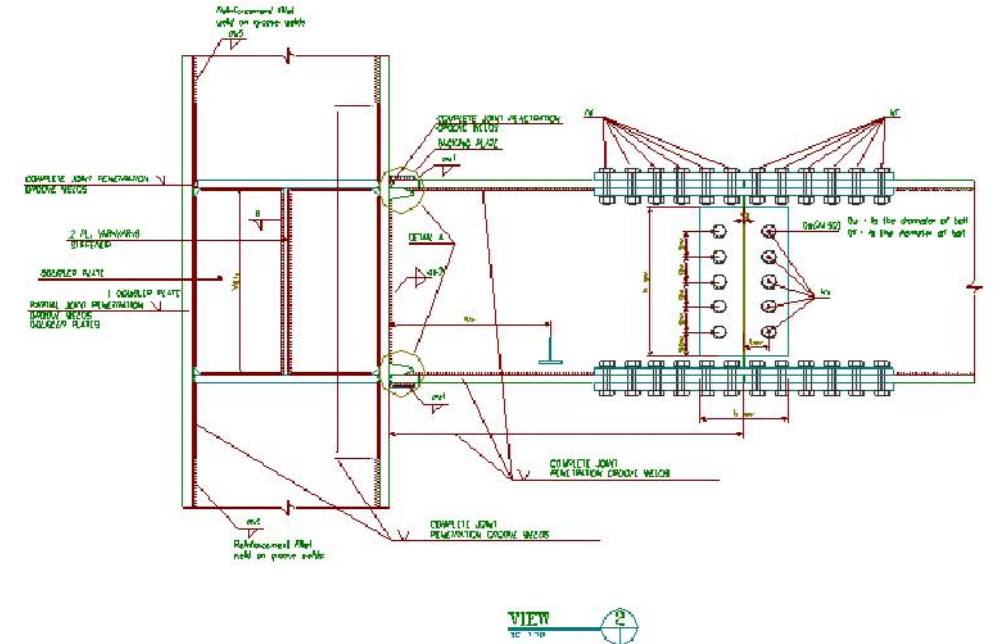
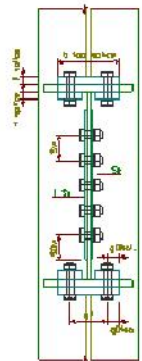
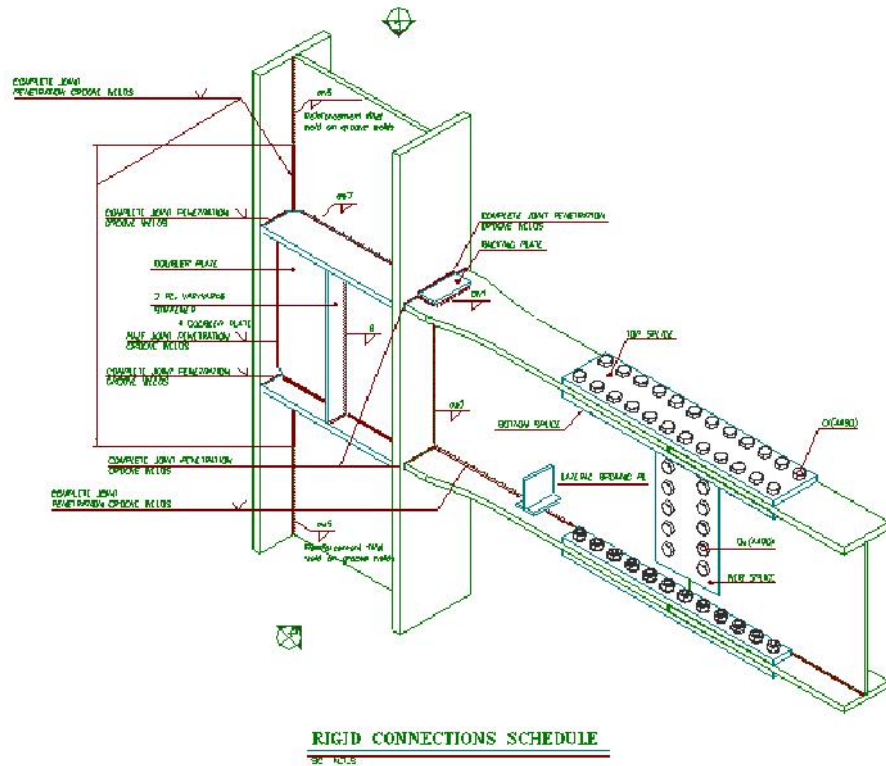
$$T_{rupture} = 0.3F_u A_{rupture} \longrightarrow M_{rupture}$$

- حداقل مقادیر فوق می‌باشد با لگر پلاستیک حد اکثر موردنانتظار مقایسه شود

$$M_{demand} = M_p = 0.6 \times 1.1 \times M_{exp}$$

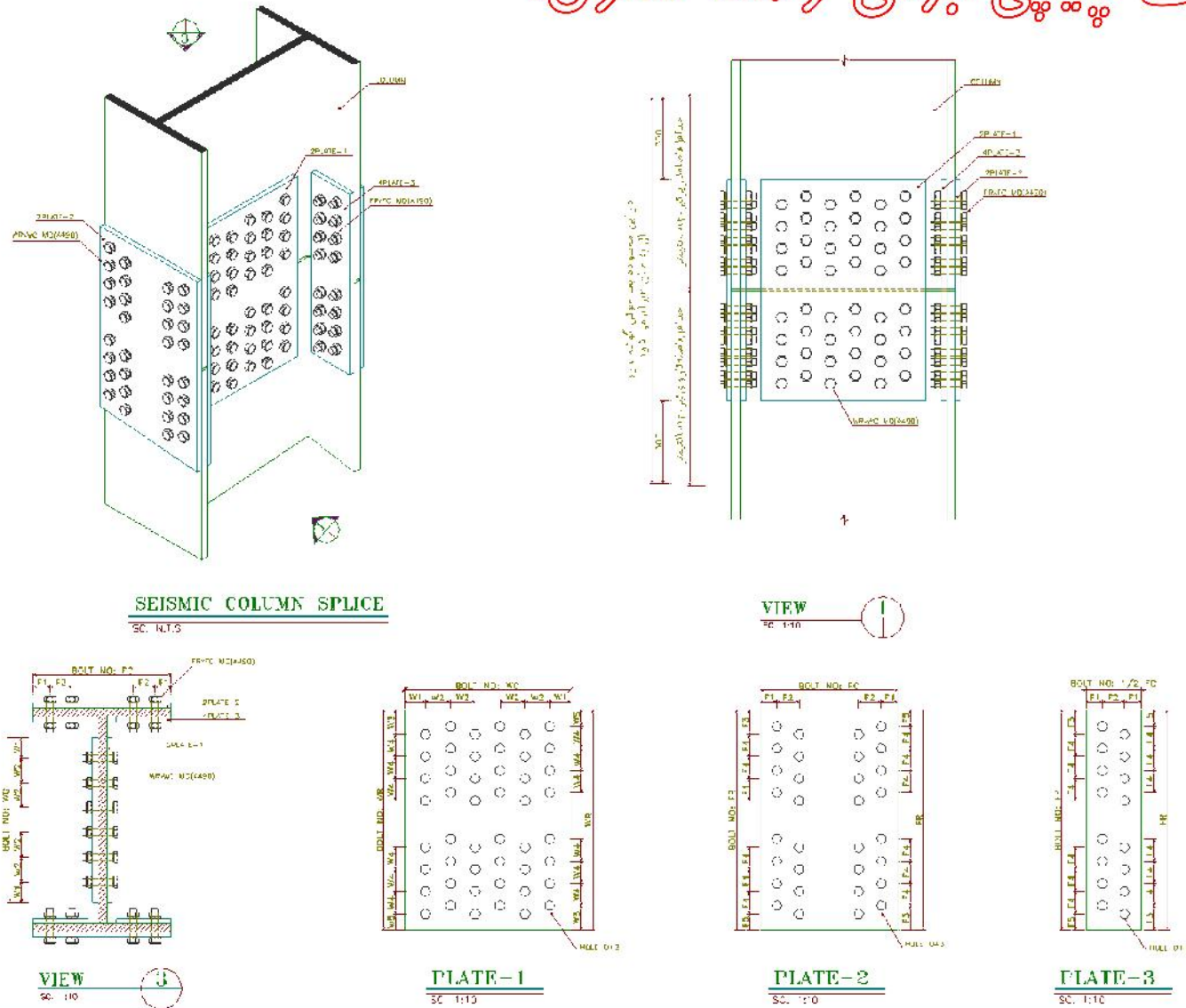
$$M_{capacity} = \min \{M_{rupture}, M_{yielding}, M_{Blockshear}\}$$

# نمونه اتصالات پیچه برای وصله نیزه پل (ستگ):

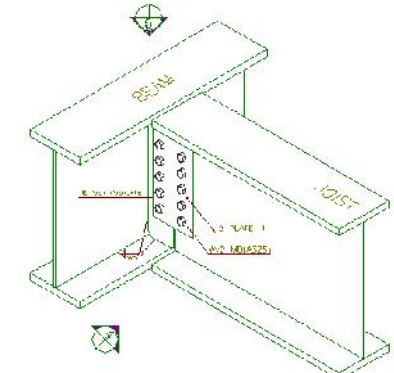


VIEW  
 $\frac{1}{10}$

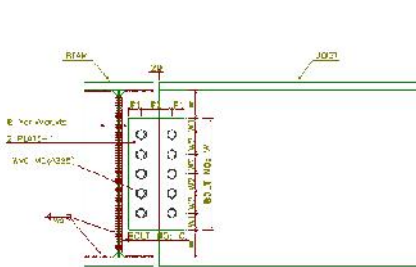
# نمونه اتصالات پیچی پایه سوپر



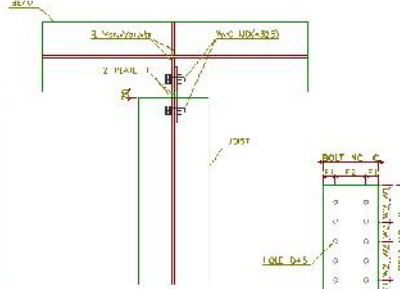
# نونهائی مفہومی تیر پوچھ لئے



**JOIST HINGE CONNECTION TO BEAM**  
SC. K.J.S.

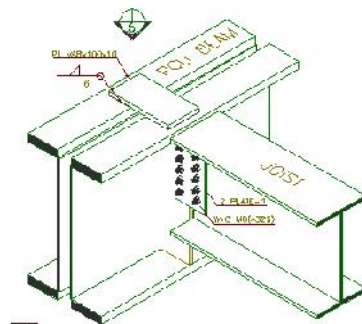


**VIEW**  
SC. 1:10

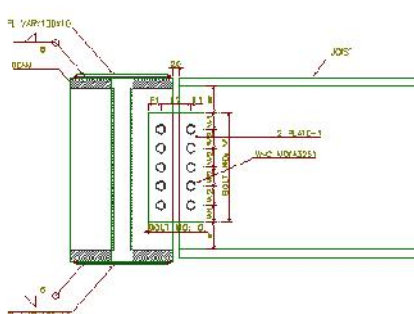


**VIEW**  
SC. 1:10

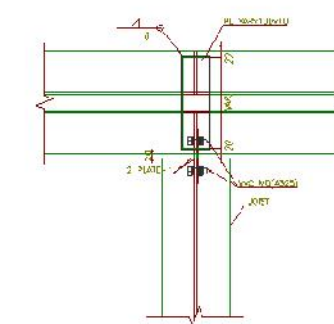
**PLATE 1**  
SC. 1:10



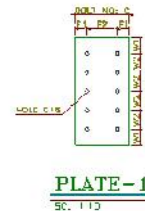
**JOIST HINGE CONNECTION TO BEAM**  
SC. K.J.S.



**VIEW**  
SC. 1:10



**VIEW**  
SC. 1:10



**PLATE-1**  
SC. 1:10

# نوبه اتمالات پیروز په میانگذر

